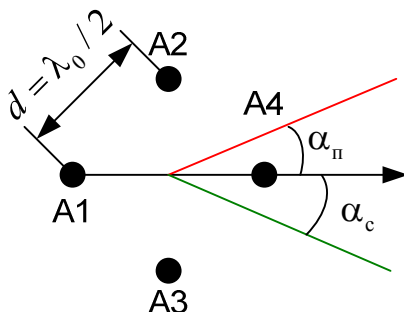


## Индивидуальные домашние задания

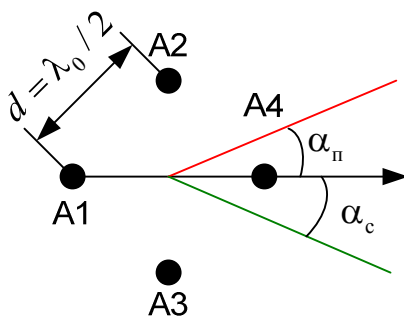
### Задание №1.

Найти коэффициент эффективности (в дБ) блока пространственной обработки сигналов от 4-элементной ( $m = 4$ ) квадратной антенной решётки со стороной квадрата, равной половине длины волны ( $d = \lambda_0 / 2$ ) при отношении помеха/шум  $q_{п/ш} = 40$  дБ. Действует одна помеха с направления  $\alpha_{п} = 30^\circ$ , полезный сигнал приходит с направления  $\alpha_{с} = -30^\circ$ . Считать отдельные элементы АР ненаправленными. Все элементы АР, источник сигнала и источник помехи лежат в одной плоскости.



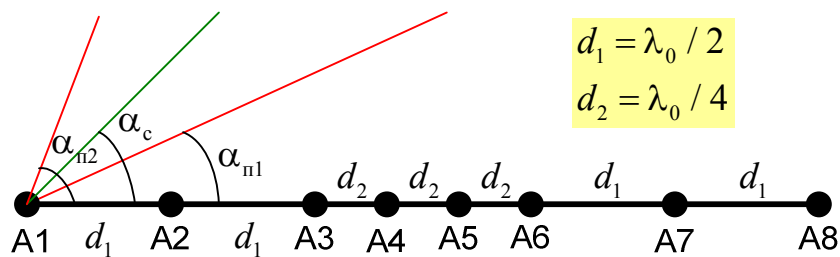
### Задание №2.

Построить в полярных координатах диаграмму направленности (ДН) на выходе блока пространственной обработки сигналов от 4-элементной ( $m = 4$ ) квадратной антенной решётки со стороной квадрата, равной половине длины волны ( $d = \lambda_0 / 2$ ). ДН рассчитывается для следующих условий: отношение помеха/шум  $q_{п/ш} = 20$  дБ, действует одна помеха ( $p = 1$ ) с направления  $\alpha_{п} = 30^\circ$ , полезный сигнал приходит с направления  $\alpha_{с} = -30^\circ$ . Считать отдельные элементы АР ненаправленными. Все элементы АР, источник сигнала и источник помехи лежат в одной плоскости.



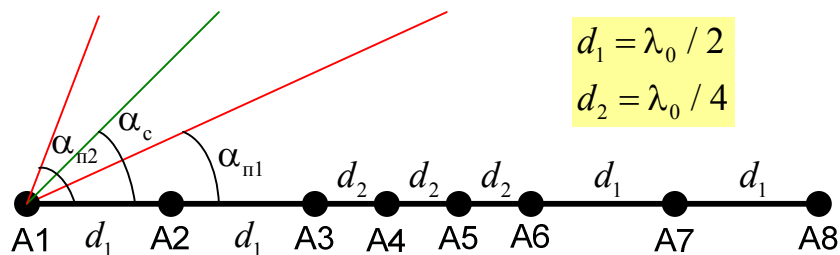
### Задание №3.

Найти коэффициент эффективности (в дБ) блока пространственной обработки сигналов от 8-элементной ( $m = 8$ ) линейной неэквидистантной антенной решётки с расстояниями между элементами согласно рисунку. Отношение помеха/шум  $q_{п/ш} = 40$  дБ. Действуют две помехи с направлений  $\alpha_{п1} = 30^\circ$  и  $\alpha_{п2} = 60^\circ$ . Полезный сигнал приходит с направления  $\alpha_c = 45^\circ$ . Считать отдельные элементы АР ненаправленными. Все элементы АР, источник сигнала и источник помехи лежат в одной плоскости.



### Задание №4.

Построить в полярных координатах диаграмму направленности (ДН) на выходе блока пространственной обработки сигналов от 8-элементной ( $m = 8$ ) линейной неэквидистантной антенной решётки с расстояниями между элементами согласно рисунку. Отношение помеха/шум  $q_{п/ш} = 20$  дБ. Действуют две помехи с направлений  $\alpha_{п1} = 30^\circ$  и  $\alpha_{п2} = 60^\circ$ . Полезный сигнал приходит с направления  $\alpha_c = 45^\circ$ . Считать отдельные элементы АР ненаправленными. Все элементы АР, источник сигнала и источник помехи лежат в одной плоскости.



### Задание №5.

Рабочий Фарход копает траншею. За его деятельностью наблюдают баба Надя и баба Люба. Баба Люба оценивает среднюю скорость выкапывания траншеи за каждый час работы  $V$  (в метрах/час) и в конце каждого часа даёт свою оценку со среднеквадратической погрешностью 1 м/ч. Погрешность бабы Любы распределена по гауссовскому закону. Баба Надя оценивает общую длину выкопанной траншеи  $X$  в метрах со среднеквадратической погрешностью 10 метров (она неважно видит). Погрешность бабы Нади также распределена по гауссовскому закону.

Найти аналитически точность фильтрации в установившемся режиме общей длины выкопанной траншеи  $X$  при комплексировании наблюдений бабы Любы и бабы Нади по модифицированному варианту с темпом поступления наблюдений и формирования оценок 1 час. Промоделировать работу комплексного фильтра на компьютере и построить зависимость дисперсии ошибки оценивания длины траншеи от времени. Через сколько часов (приблизительно) в фильтре наступит установившийся режим?

### Задание №6.

Разработать математическую модель и провести компьютерное моделирование произвольного 4-мерного марковского процесса в дискретном времени с шагом дискретизации  $T=10$  мс. Записать стохастические разностные уравнения для динамики процесса в скалярном и в векторно-матричном виде. Как по разностным уравнениям показать, что данный процесс действительно марковский? Записать выражение для плотности вероятности перехода. Построить на 4-х графиках зависимость компонент вектора состояний от времени. Уменьшить шаг дискретизации в 10 раз и скорректировать параметры модели так, чтобы статистические характеристики процесса остались неизменными. Построить ещё 4 графика с зависимостями компонент вектора состояний от времени при уменьшенном шаге дискретизации.

### Задание №7.

Записать алгоритм обнаружения полностью известного синусоидального сигнала. Отношение энергии сигнала к спектральной плотности шума  $E / N_0 = 8$  дБ. Найти порог обнаружения  $\tilde{h}$  по критерию Неймана-Пирсона при вероятности ложной тревоги 0,1. Рассчитать вероятность правильного обнаружения.

### Задание №8.

Вывести алгоритм обнаружения синусоидального сигнала с неизвестной начальной фазой. Отношение энергии сигнала к спектральной плотности шума  $E / N_0 = 10$  дБ. Найти порог обнаружения  $\tilde{h}$  по критерию Неймана-Пирсона при вероятности ложной тревоги 0,2. Рассчитать вероятность правильного обнаружения.

### Задание №9.

Найти вероятность суммарной ошибки различения двух полностью известных сигналов  $S_1$  и  $S_2$ , имеющих одинаковую вероятность присутствия в эфире, равную 0,5.

$$S_1 = A \cos(2\pi f_1 t), \quad S_2 = A \cos(2\pi f_2 t),$$

$f_1 = 1602$  МГц,  $f_2 = 1602,5625$  МГц, отношение энергии сигнала к спектральной плотности шума  $E / N_0 = 11$  дБ. Длительность интервала наблюдения  $T = 10$  мс.

### Задание №10.

Найти вероятность суммарной ошибки различения двух сигналов  $S_1$  и  $S_2$  с неизвестными начальными фазами, имеющих одинаковую вероятность присутствия в эфире, равную 0,5.

$$S_1 = A \cos(2\pi f_1 t + \varphi_1), \quad S_2 = A \cos(2\pi f_2 t + \varphi_2), \quad \varphi_1, \varphi_2 \subset U(0, 2\pi)$$

$f_1 = 1602$  МГц,  $f_2 = 1602,5625$  МГц, отношение энергии сигнала к спектральной плотности шума  $E / N_0 = 15$  дБ. Длительность интервала наблюдения  $T = 10$  мс.

### Задание №11.

По адресу [http://srns.ru/w/images/e/e1/Y\\_iz11.txt.zip](http://srns.ru/w/images/e/e1/Y_iz11.txt.zip) дана выборка наблюдений сигнала с неизвестной начальной фазой на выходе АЦП

$$\mathbf{Y}_1^N = \{y_k\}, \quad k = \overline{1, N}:$$

$$y_k = A \cos(2\pi f \cdot kT_d + \varphi_0) + n_k;$$

$n_k$  - ДБГШ с СКО  $\sigma_n = 100$ ;  $A=50$ ; интервал дискретизации  $T_d = 200$  нс; интервал наблюдений  $T = NT_d = 1$  мс (отсюда  $N = T / T_d = 5000$ ); значение промежуточной частоты сигнала  $f = 1,15$  МГц.

Требуется оценить значение начальной фазы сигнала  $\hat{\varphi}_0$  по методу максимального правдоподобия, а также найти потенциальную точность такой оценки -  $D_\varphi$ . Привести алгоритмы расчетов и исходный код программы.

### Задание №12.

По адресу [http://srns.ru/w/images/b/bb/Y\\_iz12.txt.zip](http://srns.ru/w/images/b/bb/Y_iz12.txt.zip) дана выборка наблюдений сигнала с неизвестной частотой на выходе АЦП

$$\mathbf{Y}_1^N = \{y_k\}, \quad k = \overline{1, N}:$$

$$y_k = A \cos(2\pi f \cdot kT_d) + n_k;$$

$n_k$  - ДБГШ с СКО  $\sigma_n = 100$ ;  $A=50$ ; интервал дискретизации  $T_d = 200$  нс; интервал наблюдений  $T = NT_d = 1$  мс (отсюда  $N = T / T_d = 5000$ ).

Требуется оценить значение промежуточной частоты сигнала  $f$  с помощью схемы поиска решения уравнения правдоподобия. Расстройку по частоте брать равной  $\delta f = 200$  Гц. Шаг изменения опорной частоты при сканировании брать равным  $\delta f$ . Также найти потенциальную точность оценки частоты -  $D_f$ . Привести алгоритмы расчетов и исходный код программы. Построить графики зависимости отклика на выходе обоих корреляторов от опорной частоты, а также график разностного сигнала, который поступает на схему фиксации перехода через нуль.

### Задание №13.

По адресу [http://sms.ru/w/images/7/75/Y\\_iz13.txt.zip](http://sms.ru/w/images/7/75/Y_iz13.txt.zip) дана выборка наблюдений сигнала с неизвестной амплитудой на выходе АЦП

$$\mathbf{Y}_1^N = \{y_k\}, \quad k = \overline{1, N}:$$

$$y_k = A \cos(2\pi f \cdot kT_d) + n_k;$$

$n_k$  - ДБГШ с СКО  $\sigma_n = 100$ ; интервал дискретизации  $T_d = 200$  нс; интервал наблюдений  $T = NT_d = 1$  мс (отсюда  $N = T / T_d = 5000$ ); значение промежуточной частоты сигнала  $f = 1,15$  МГц.

Требуется оценить значение амплитуды сигнала  $A$  по методу максимального правдоподобия, а также найти потенциальную точность оценки амплитуды -  $D_A$ . Привести алгоритмы расчетов и исходный код программы.

### Задание №14.

Эквивалентные наблюдения дальности (в метрах) заданы в виде

$$y_R(t) = R(t) + n(t),$$

где  $n(t)$  - БГШ с односторонней спектральной плотностью  $N_0 = 1,8$  м<sup>2</sup>с.

Динамическая модель изменения дальности задана в виде

$$\frac{dR(t)}{dt} = V(t), \quad \frac{dV(t)}{dt} = \xi(t),$$

где  $\xi(t)$  - формирующий БГШ с односторонней спектральной плотностью  $S_\xi = 4$  м<sup>2</sup>/с<sup>3</sup>.

Записать уравнения оптимальной линейной фильтрации наблюдений дальности. Найти среднеквадратическую ошибку фильтрации дальности  $\sigma_R = \sqrt{D_R}$  и радиальной скорости  $\sigma_V = \sqrt{D_V}$  в установившемся режиме. Найти значения для коэффициентов фильтра  $K_1$  и  $K_2$  в установившемся режиме. Вывести аналитическое выражение и рассчитать численное значение шумовой полосы пропускания получившегося фильтра через операторный коэффициент передачи.

### Задание №15.

Эквивалентные наблюдения дальности (в метрах) заданы в виде

$$y_{R,k} = R_k + n_k,$$

где  $n_k$  - ДБГШ с односторонней спектральной плотностью  $N_0 = 1,8 \text{ м}^2/\text{с}$ ,  $k$  - номер отсчета. Шаг дискретизации равен  $T = 1 \text{ мс}$ .

Динамическая модель изменения дальности задана стохастическим разностным уравнением:

$$R_k = R_{k-1} + V_{k-1}T, \quad V_k = V_{k-1} + \xi_{k-1}T,$$

где  $\xi_k$  - формирующий ДБГШ с односторонней спектральной плотностью  $S_\xi = 4 \text{ м}^2/\text{с}^3$ .

Записать уравнения оптимальной линейной фильтрации наблюдений дальности в дискретном времени. Промоделировать на компьютере процесс изменения истинной дальности  $R_k$ , наблюдения  $y_{R,k}$ , а также работу получившегося линейного фильтра. Найти среднеквадратическую ошибку фильтрации дальности  $\sigma_R = \sqrt{D_R}$  и радиальной скорости  $\sigma_V = \sqrt{D_V}$  в установившемся режиме. Найти значения для коэффициентов фильтра  $K_1$  и  $K_2$  в установившемся режиме. Начальные значения  $R_0$  и  $V_0$  брать нулевыми. Построить графики зависимостей от времени

- истинной дальности  $R(t_k)$  и радиальной скорости  $V(t_k)$ ;
- ошибки фильтрации  $\varepsilon_{R,k} = \hat{R}(t_k) - R(t_k)$ .

## Задание №16.

Эквивалентные наблюдения дальности (в метрах) заданы в виде

$$y_{R,k} = R_k + n_{R,k},$$

где  $n_{R,k}$  - ДБГШ с односторонней спектральной плотностью  $N_{0R}=1,8 \text{ м}^2/\text{с}$ ,  $k$  - номер отсчета. Шаг дискретизации равен  $T = 1 \text{ мс}$ .

Эквивалентные наблюдения радиальной скорости (в м/с) заданы в виде

$$y_{V,k} = V_k + n_{V,k},$$

где  $n_{V,k}$  - ДБГШ с односторонней спектральной плотностью  $N_{0V}=0,0002 \text{ м}^2/\text{с}$ ,

Динамическая модель изменения дальности и радиальной скорости задана стохастическим разностным уравнением:

$$R_k = R_{k-1} + V_{k-1}T, \quad V_k = V_{k-1} + a_{k-1}T, \quad a_k = a_{k-1} + \xi_{k-1}T,$$

где  $\xi_k$  - формирующий ДБГШ с односторонней спектральной плотностью  $S_\xi = 2 \text{ м}^2/\text{с}^5$ .

Записать уравнения оптимальной комплексной фильтрации наблюдений дальности и радиальной скорости в дискретном времени. Промоделировать на компьютере процесс изменения истинной дальности  $R_k$ , наблюдения  $y_{R,k}$ , а также работу получившегося линейного фильтра. Найти среднеквадратическую ошибку фильтрации дальности в установившемся режиме  $\sigma_R = \sqrt{D_R}$ . Найти значения для коэффициентов фильтра  $K_{11}$ ,  $K_{12}$ ,  $K_{21}$ ,  $K_{22}$ ,  $K_{31}$ ,  $K_{32}$  в установившемся режиме. Начальные значения  $R_0$ ,  $V_0$  и  $a_0$  брать нулевыми. Построить графики зависимостей от времени

- истинной дальности  $R(t_k)$  и радиальной скорости  $V(t_k)$ ;
- ошибки фильтрации  $\varepsilon_{R,k} = \hat{R}(t_k) - R(t_k)$  на одном графике с предельными границами ошибок фильтрации по уровню  $3\sigma$  -  $\pm 3\sqrt{D_R}(t_k)$ ;
- ошибки фильтрации  $\varepsilon_{V,k} = \hat{V}(t_k) - V(t_k)$  на одном графике с предельными границами ошибок фильтрации по уровню  $3\sigma$  -  $\pm 3\sqrt{D_V}(t_k)$ .



### Задание №17.

Рабочий Фарход копает траншею с неравномерной скоростью – то останавливаясь на перекур, то ускоряясь после окриков бригадира. Математическая модель изменения длины траншеи в дискретном времени может быть представлена в виде

$$X_k = X_{k-1} + V_0 T + \xi_{k-1},$$

где  $k$  - номер момента времени,  $T=1$  час - шаг дискретизации,  $X$  - длина траншеи в метрах,  $V_0 = 1,5$  м/ч – средняя скорость выкапывания траншеи,  $\xi_{k-1}$  - ДБГШ с СКО, равным  $\sigma_\xi = 0,5$  м.

За деятельностью Фархода наблюдают баба Надя и баба Люба. Баба Люба оценивает общую длину выкопанной траншеи  $X$  в конце каждого часа со среднеквадратической погрешностью 0,5 метра. Баба Надя оценивает общую длину выкопанной траншеи  $X$  в те же моменты времени со среднеквадратической погрешностью 0,7 метра (она неважно видит). Погрешности бабы Нади и бабы Любы распределены по гауссовскому закону и совершенно независимы.

Найти точность фильтрации в установившемся режиме общей длины выкопанной траншеи  $X$  при обработке наблюдений бабы Любы и бабы Нади в оптимальном комплексном фильтре с темпом поступления наблюдений и формирования оценок 1 час. Через сколько часов в фильтре наступит установившийся режим? Вклад чьих наблюдений в оценку  $\hat{X}$  будет больше? Какая будет точность фильтрации длины траншеи, если за Фарходом будет наблюдать одна только баба Люба?

### Задание №18.

Выполнить домашнее задание №5 (Занятия 15, 13) при условии, что поддерживающая информация, полученная с помощью ИНС, имеет физический смысл радиальной скорости, т.е. измерения от ИНС заданы в виде

$$\gamma_k = \Omega_k + \frac{\omega_0}{c} \delta_k, \quad (1)$$

где  $\Omega_k$  - доплеровская частота,  $\delta_k$  - погрешность вычисления радиальной скорости, изменение которой во времени можно приближенно аппроксимировать винеровским процессом:

$$\delta_k = \delta_{k-1} + \chi_{k-1}, \quad (2)$$

$\chi_{k-1}$  - ДБГШ со среднеквадратическим значением  $\sigma_\chi = 0,01$  м/с.

1. Провести синтез комплексного фильтра ФАП по модифицированному варианту комплексирования (занятие 14, слайд 3). То есть, в динамическую модель изменения фазы внести измерения от ИНС, выразив из (1)

$\Omega_k = \gamma_k - \frac{\omega_0}{c} \delta_k$ , а в вектор состояний включить случайный процесс  $\delta_k$ :

$$\mathbf{x}_k = |a_k \quad \varphi_k \quad \delta_k|^T.$$

Записать постановку задачи в векторно-матричном виде, как на слайде 7 (занятие 13). Смоделировать входные воздействия, включая поддержку от ИНС (1), а также саму систему ФАП, учитывающую эти «поддерживающие» измерения.

Амплитуду сигнала моделировать ступенькой:

$$a_k = \begin{cases} 1, & \text{при } t_k < 5 \text{ с;} \\ 0.5, & \text{при } t_k \geq 5 \text{ с.} \end{cases}$$

Начальные условия для моделирования:

$$\mathbf{D}_0 = \begin{vmatrix} 0.3^2 & 0 & 0 \\ 0 & \pi^2 & 0 \\ 0 & 0 & (1 \text{ м/с})^2 \end{vmatrix}, \quad \begin{vmatrix} a_0 \\ \varphi_0 \\ \delta_0 \end{vmatrix} = \begin{vmatrix} 1 \\ \pi / 12 \\ 1 \end{vmatrix}, \quad \begin{vmatrix} \hat{a}_0 \\ \hat{\varphi}_0 \\ \hat{\delta}_0 \end{vmatrix} = \begin{vmatrix} 0.5 \\ 0 \\ 0 \end{vmatrix}$$

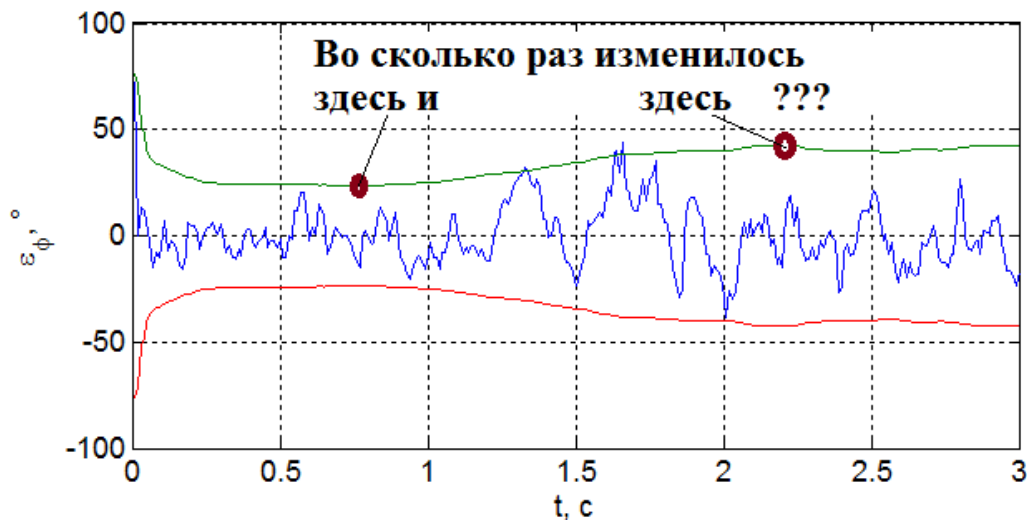
2. Построить на одном графике зависимости от времени:

- мгновенной ошибки фильтрации фазы  $\varepsilon_\varphi(t_k) = \hat{\varphi}_k - \varphi_k$ ;

- предельные границы ошибок фильтрации по уровню  $3\sigma$  (по оценкам матрицы дисперсий фильтра  $\mathbf{D}_{x,k}$ ):  $\pm 3\sqrt{D_{22}}(t_k)$ ,  $t = 0 \dots 10$  с (по оси ординат - градусы).

3. Построить на одном графике реализации истинной радиальной скорости  $\Omega_k \cdot c / \omega_0$  и погрешности измерений радиальной скорости от ИНС  $\delta_k$ .

4. Выяснить, как и во сколько раз изменилась дисперсия ошибки фазы по сравнению с д.з. №4 в установившемся режиме до и после скачка амплитуды:



5. Рассчитать выигрыш в помехоустойчивости (в дБ) как:

$$\Delta = 10 \lg \left( \frac{D_{22}(\text{без поддержки - д.з. №4})}{D_{22}(\text{с поддержкой от ИНС})} \right) \quad [\text{дБ}]$$

6. Привести исходный код программы.

### Задание №19.

С выхода АЦП поступают наблюдения сигнала с неизвестной фазой:

$$y_{k,i} = a \cos(\omega_{\text{п}} t_{k,i} + \varphi_k) + n_{k,i},$$

где  $t_{k,i} = kT + iT_d$  - момент двойной шкалы времени,  $i = \overline{0, (N-1)}$ ;  $T_d = 0,2$  мкс - темп работы АЦП,  $T = 10$  мс - темп фильтрации (за время  $T$  задержку можно считать неизменной);  $a = 10$  - амплитуда сигнала;  $n_{k,i}$  - ДБГШ с нулевым мат. ожиданием и среднеквадратическим значением  $\sigma_n = 35,4$ ;  $\omega_{\text{п}} = 2\pi \cdot (2 \text{ МГц})$  - значение промежуточной частоты;  $\varphi_k$  - меняющаяся неизвестная фаза сигнала.

Динамическая модель фазы сигнала дается разностными уравнениями в «редкой» шкале времени. (На одном такте «редкой» шкалы времени  $t_{k,0} \dots t_{k+1,0}$  фазу можно приближенно считать постоянной).

$$\varphi_k = \varphi_{k-1} + \Omega_{k-1} T,$$

$$\Omega_k = \Omega_{k-1} + v_{k-1} T,$$

$$v_k = v_{k-1} \cdot (1 - \alpha T) + \alpha T \cdot \xi_{k-1},$$

где  $\xi_{k-1}$  - ДБГШ с дисперсией  $\sigma_{\xi}^2 = \frac{S_{\xi}}{2T}$ ,  $S_{\xi} = 2\sigma_a^2 \alpha \left( \frac{\omega_0}{c} \right)^2$ ,  $\sigma_a = 1 \text{ м/с}^2$ ,

$\omega_0 = 2\pi \cdot (1602 \text{ МГц})$  - несущая частота,  $\alpha = 1 \text{ с}^{-1}$  - ширина спектра флуктуаций ускорения.

1. Провести синтез алгоритма оптимальной нелинейной фильтрации фазы сигнала  $\varphi_k$ . Привести выражение для дискриминатора фазы, учитывающего снижение темпа обработки. Записать уравнения фильтрации.

2. Смоделировать входные воздействия, наблюдаемый сигнал и синтезированный алгоритм нелинейной фильтрации при следующих начальных условиях:

- дисперсии начальных оценок  $\hat{\varphi}_0$ ,  $\hat{\Omega}_0$ ,  $\hat{v}_0$  равны  $(\pi \text{ рад})^2$ ,  $(34 \text{ рад/с})^2$  и  $(340 \text{ рад/с}^2)^2$  соответственно;

$$\begin{vmatrix} \varphi_0 \\ \Omega_0 \\ \nu_0 \end{vmatrix} = \begin{vmatrix} \pi / 12 \\ 100 \\ 100 \end{vmatrix}, \quad \begin{vmatrix} \hat{\tau}_0 \\ \hat{\Omega}_0 \\ \hat{\nu}_0 \end{vmatrix} = \begin{vmatrix} 0 \\ 0 \\ 0 \end{vmatrix}.$$

3. Построить на одном графике зависимости от времени

- мгновенной ошибки фильтрации фазы:  $\varepsilon_\varphi(t_k) = \hat{\varphi}_k - \varphi_k$ ;

- предельные границы ошибок фильтрации задержки по уровню  $3\sigma$  (по оценкам матрицы дисперсий фильтра  $\mathbf{D}_{x,k} : \pm 3\sqrt{D_{11}}(t_k)$ ,  $t = 0 \dots 2$  с.

4. Построить на другом графике зависимости от времени

- мгновенной ошибки фильтрации частоты  $\varepsilon_\Omega(t_k) = \hat{\Omega}_k - \Omega_k$ ;

- предельные границы ошибок фильтрации частоты по уровню  $3\sigma$  (по оценкам матрицы дисперсий фильтра  $\mathbf{D}_{x,k} : \pm 3\sqrt{D_{22}}(t_k)$ ,  $t = 0 \dots 2$  с.

5. Привести исходный код программы.

## Задание №20.

Решить задачу синтеза фильтра системы ЧАП для дискретного времени. Эквивалентные наблюдения доплеровского смещения частоты заданы в виде:

$$\tilde{y}_k = \Omega_k + \tilde{n}_k,$$

где  $k$  - номер отсчета,  $n_k$  - ДБГШ с нулевым мат. ожиданием и дисперсией

$$\sigma_n^2 = \frac{\tilde{N}_0(q_{c/n_0})}{2T}, \quad \tilde{N}_0(q_{c/n_0}) - \text{флуктуационная характеристика частотного}$$

$$\text{дискриминатора } \tilde{N}_0(q_{c/n_0}) = \frac{2}{q_{c/n_0} T^2} \left( 1 + \frac{1}{2q_{c/n_0} T} \right); \quad T = 2 \text{ мс} - \text{ шаг дискретизации};$$

$q_{c/n_0} = 10^{0,1(42 \text{ дБГц})}$  - отношение мощности сигнала к спектральной плотности шума на входе приемника.

Динамическая модель изменения доплеровской частоты дается разностным уравнением

$$\Omega_k = \Omega_{k-1} (1 - \alpha T) + \alpha T \cdot \xi_{k-1},$$

где  $\xi_{k-1}$  - ДБГШ с дисперсией  $\sigma_\xi^2 = \frac{S_\xi}{2T}$ ,  $S_\xi = 2\sigma_V^2 \alpha \left( \frac{\omega_0}{c} \right)^2$ ,  $\sigma_V = 14 \text{ м/с}$ ,

$\omega_0 = 2\pi \cdot (1602 \text{ МГц})$  - несущая частота,  $\alpha = 0,25 \text{ с}^{-1}$  - ширина спектра флуктуаций скорости.

1. Провести синтез алгоритма оптимальной линейной фильтрации доплеровской частоты сигнала  $\Omega_k$ . Записать уравнения фильтрации.

2. Смоделировать процесс истинной доплеровской частоты, наблюдения и синтезированный алгоритм линейной фильтрации при следующих начальных условиях:

- дисперсия начальной оценки  $\hat{\Omega}_0$  равна  $(470 \text{ рад/с})^2$ ;  $\Omega_0 = 100 \text{ рад/с}$ ;  $\hat{\Omega}_0 = 0 \text{ рад/с}$ .

3. Построить график зависимости истинной доплеровской частоты (в рад/с) от времени:  $\Omega_k(t_k)$ ,  $t = 0 \dots 50 \text{ с}$ .

4. Построить график зависимости среднеквадратической ошибки фильтрации частоты от времени:  $\sqrt{D_{11}}(t_k)$  (в рад/с),  $t = 0 \dots 0,2 \text{ с}$ .

5. Построить мгновенную ошибку фильтрации частоты в зависимости от времени (в рад/с)  $\varepsilon_{\Omega}(t_k) = \hat{\Omega}_k - \Omega_k$ ,  $t = 0 \dots 1$  с. На этом же графике отразить предельные границы ошибок фильтрации частоты по уровню  $3\sigma$  (по оценкам матрицы дисперсий фильтра  $\mathbf{D}_{x,k}$ :  $\pm 3\sqrt{D_{11}}(t_k)$ ).

6. Для установившегося режима сравнить  $D_{11}$  и выборочную дисперсию ошибки (рассчитанную по выборке  $\varepsilon_{\Omega}(t_k)$  как  $\sigma_{\Omega}^2 = \frac{1}{M-1} \sum_{k=1}^M \varepsilon_{\Omega}^2(t_k)$ ), сделать

вывод.

7. Привести исходный код программы.